

Chapitre VI-1 - Chapter VI-1

Analyse des sous-populations de souches
selon leur niveau de sensibilité
(informations de type 1)

*Sub-population analysis of isolates
according to their susceptibility level
(type 1 information)*

Figures 1.1 à 1.34 - *Figures 1.1 to 1.34*

Tableaux 1.1 à 1.8 - *Tables 1.1 to 1.8*

Dans les figures suivantes, la valeur de diamètre 36 mm correspond en fait à ≥ 36 mm. En effet, 36 mm est souvent la valeur maximale mesurée par les caméras ou entrée dans les systèmes de gestion des laboratoires. D et d représentent les valeurs supérieures et inférieures des diamètres critiques.

In the following Figures, the 36 mm diameter value corresponds to ≥ 36 mm. Indeed, 36 mm is often the highest value given by automatic cameras or recorded in laboratory information systems. D and d represent the high and low critical values of diameters.

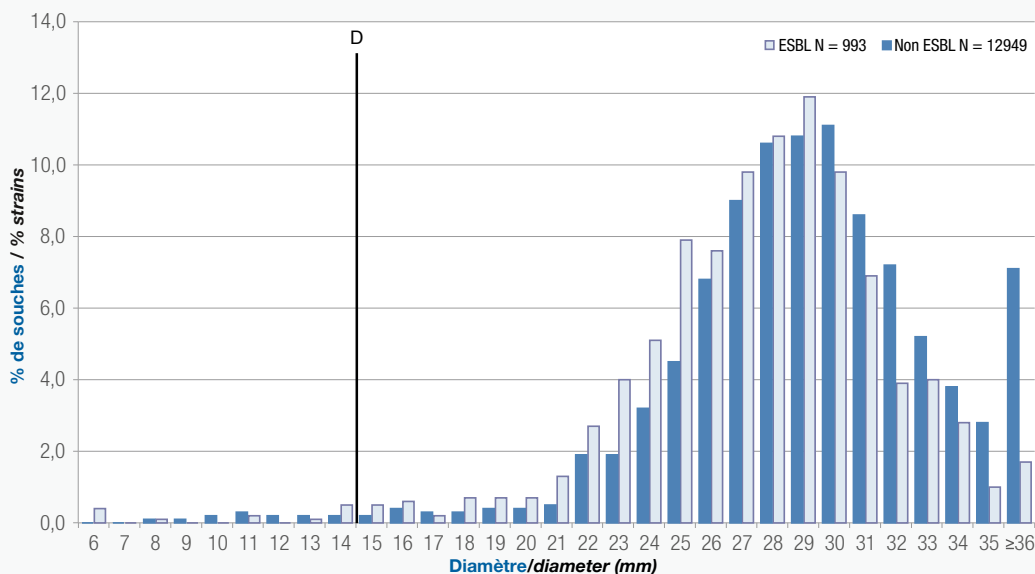


Figure 1.1

Escherichia coli :
non BLSE / BLSE (13 942 souches) :
distribution des diamètres
d'inhibition pour les furanes
Escherichia coli:
non ESBL/ESBL (13 942 strains):
distribution of inhibition zone
diameters for nitrofurans
(Réseau REUSSIR, 2012).
Cf. Tableau 1.1 and 1.4

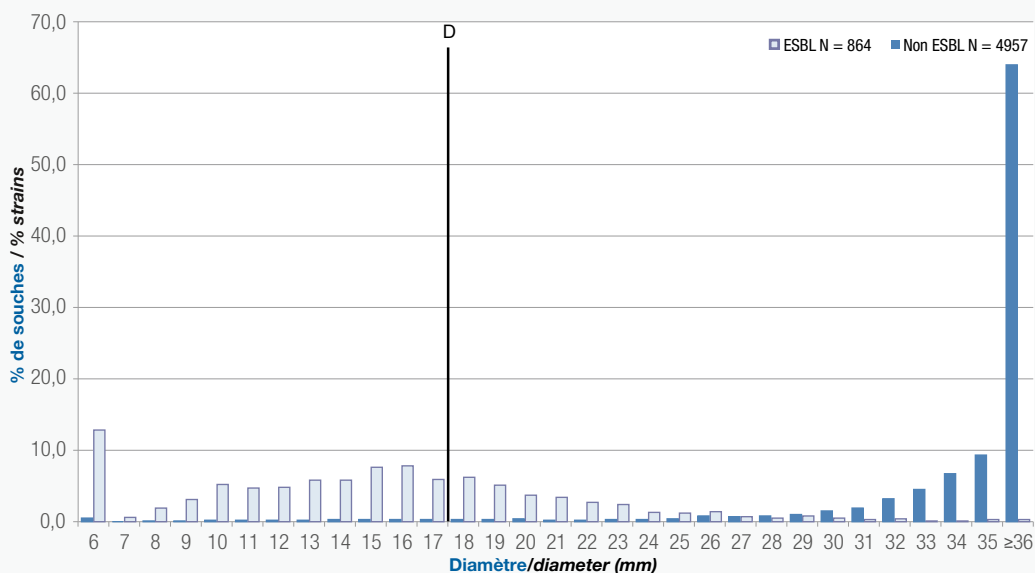


Figure 1.2

Escherichia coli :
non BLSE / BLSE (5 821 souches) :
distribution des diamètres
d'inhibition pour le mecillinam
Escherichia coli:
non ESBL/ESBL (5 821 strains):
distribution of inhibition zone
diameters for mecillinam
(Réseau REUSSIR, 2012).
Cf. Tableau 1.1 and 1.4

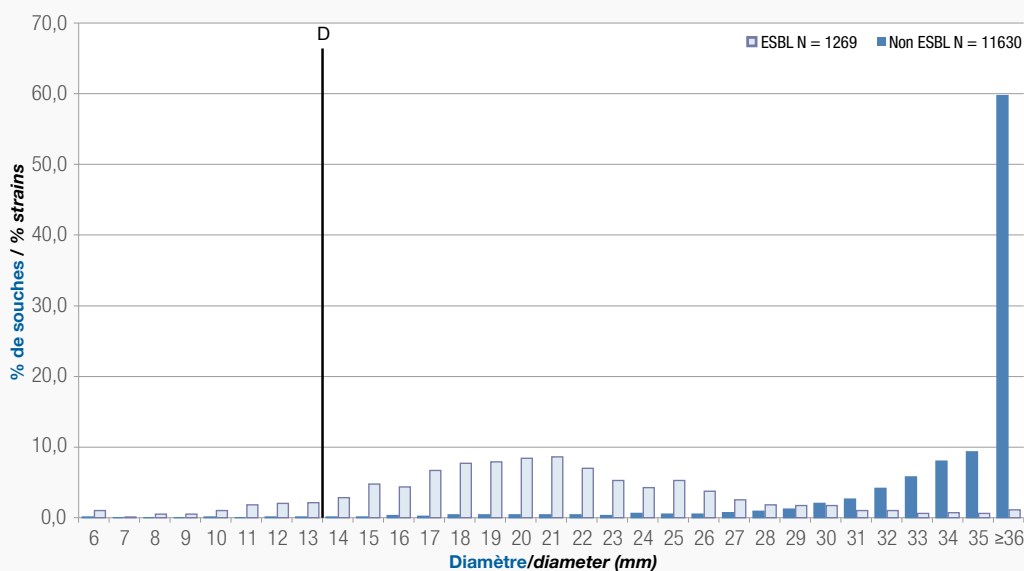


Figure 1.3

Escherichia coli :
non BLSE / BLSE (12 899 souches) :
distribution des diamètres
d'inhibition pour la fosfomycine
Escherichia coli:
non ESBL/ESBL (12 899 strains):
distribution of inhibition zone
diameters for fosfomycin
(Réseau REUSSIR, 2012).
Cf. Tableau 1.1 and 1.4

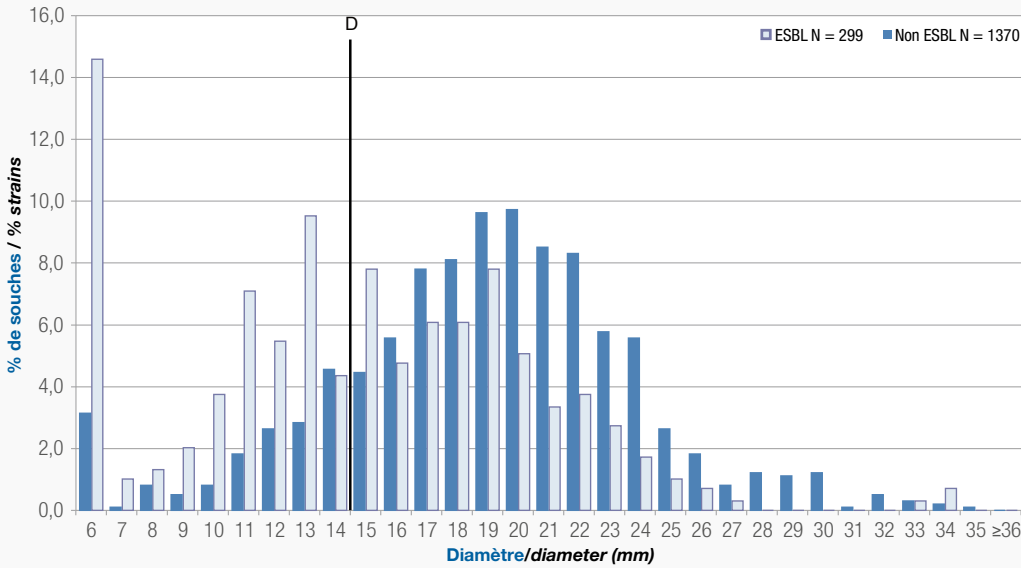


Figure 1.4

Klebsiella pneumoniae :
non BLSE / BLSE (1 669 souches) :
distribution des diamètres
d'inhibition pour les furanes
Klebsiella pneumoniae:
non ESBL/ESBL (1 669 strains):
distribution of inhibition zone
diameters for nitrofurantoin
Réseau REUSSIR, 2012).
Cf. Tableau 1.2 et 1.3

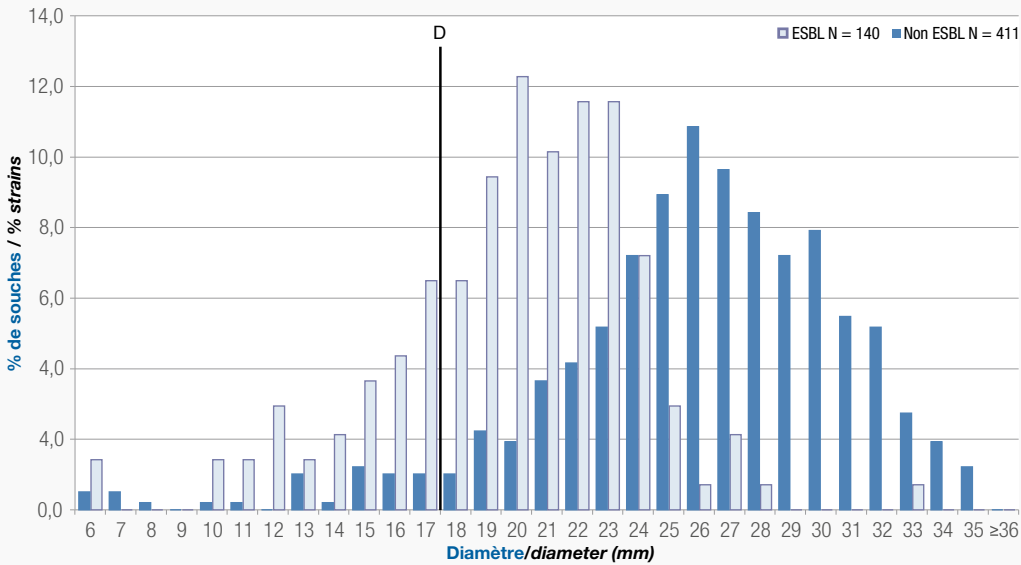


Figure 1.5

Klebsiella pneumoniae :
non BLSE / BLSE (551 souches) :
distribution des diamètres
d'inhibition pour le mecillinam
Klebsiella pneumoniae:
non ESBL/ESBL (551 strains):
distribution of inhibition zone
diameters for cefotaxime
(Réseau REUSSIR, 2012).
Cf. Tableau 1.2 et 1.3

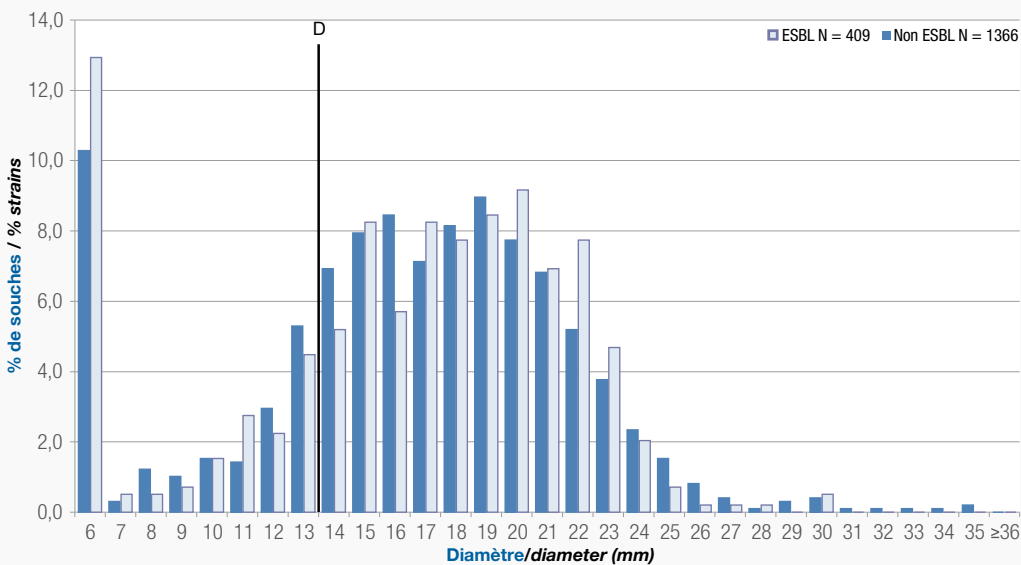


Figure 1.6

Klebsiella pneumoniae :
non BLSE / BLSE (1 775 souches) :
distribution des diamètres
d'inhibition pour la fosfomycine
Klebsiella pneumoniae:
non ESBL/ESBL (1 775 strains):
distribution of inhibition zone
diameters for fosfomycine
(Réseau REUSSIR, 2012).
Cf. Tableau 1.2 et 1.3

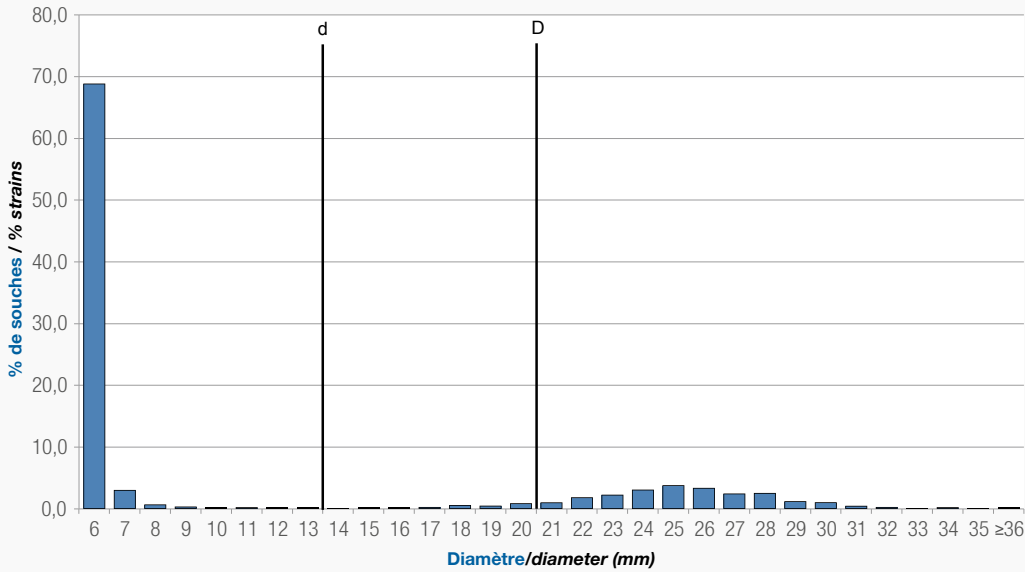


Figure 1.7

Escherichia coli :
(4 192 souches) : distribution des diamètres d'inhibition pour l'amoxicilline, souches isolées de bovins
Escherichia coli:
(4 192 strains): distribution of inhibition zone diameters for amoxicillin; strains isolated from bovines
(Réseau RESAPATH, 2013).
Cf. Tableau 1.5

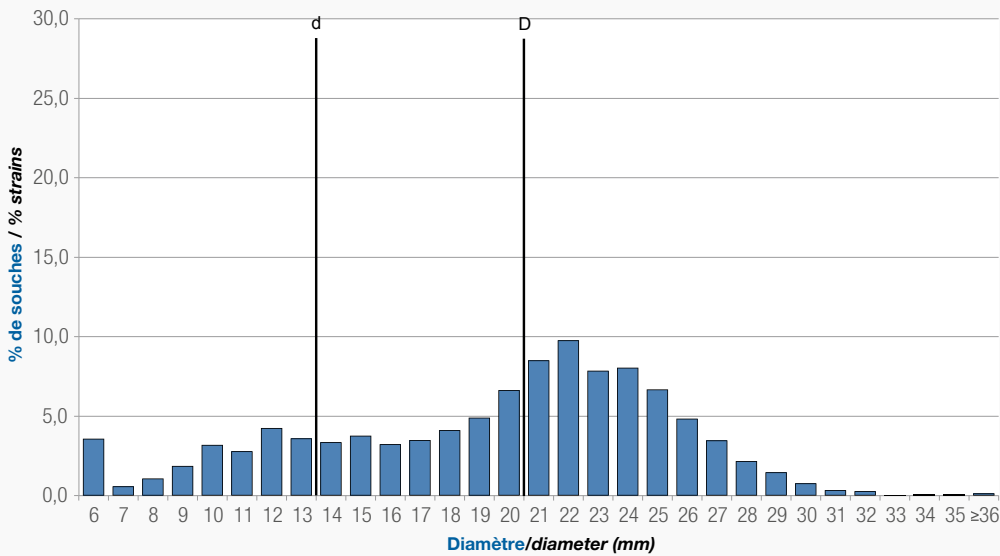


Figure 1.8

Escherichia coli :
(4 841 souches) : distribution des diamètres d'inhibition pour l'association amoxicilline-clavulanate, souches isolées de bovins
Escherichia coli:
(4 841 strains): distribution of inhibition zone diameters for amoxicillin-clavulanate; strains isolated from bovines
(Réseau RESAPATH, 2013).
Cf. Tableau 1.5

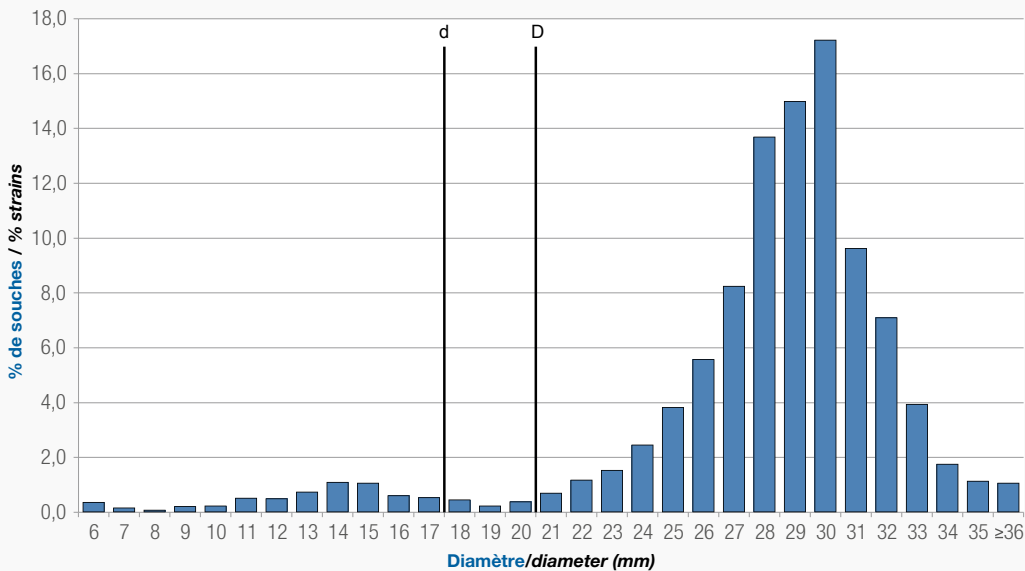


Figure 1.9

Escherichia coli :
(4 603 souches) : distribution des diamètres d'inhibition pour le ceftiofur, souches isolées de bovins
Escherichia coli:
(4 603 strains): distribution of inhibition zone diameters for ceftiofur; strains isolated from bovines
(Réseau RESAPATH, 2013).
Cf. Tableau 1.5

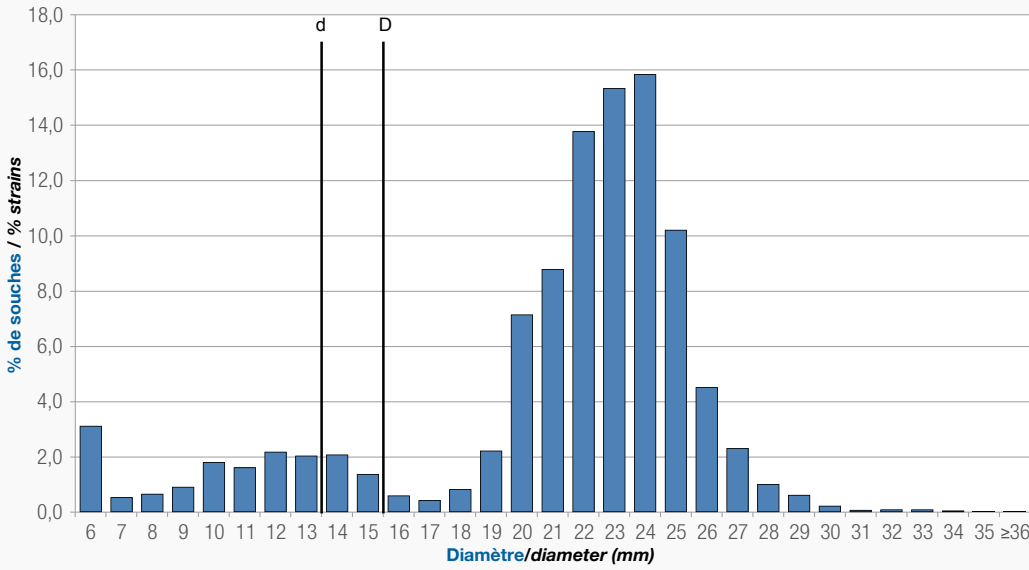


Figure 1.10

Escherichia coli :
(4 832 souches) : distribution des diamètres d'inhibition pour la gentamicine, souches isolées de bovins

Escherichia coli:
(4 832 strains): distribution of inhibition zone diameters for gentamicin; strains isolated from bovines (Réseau RESAPATH, 2013). Cf. Tableau 1.5

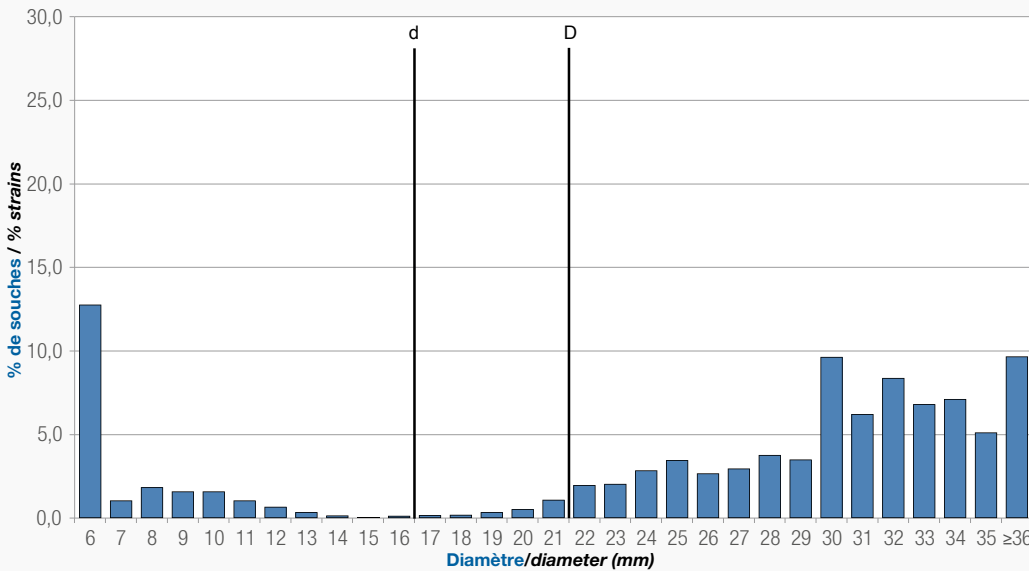


Figure 1.11

Escherichia coli :
(4 444 souches) : distribution des diamètres d'inhibition pour l'enrofloxacin, souches isolées de bovins

Escherichia coli:
(4 444 strains): distribution of inhibition zone diameters for enrofloxacin; strains isolated from bovines (Réseau RESAPATH, 2013). Cf. Tableau 1.5

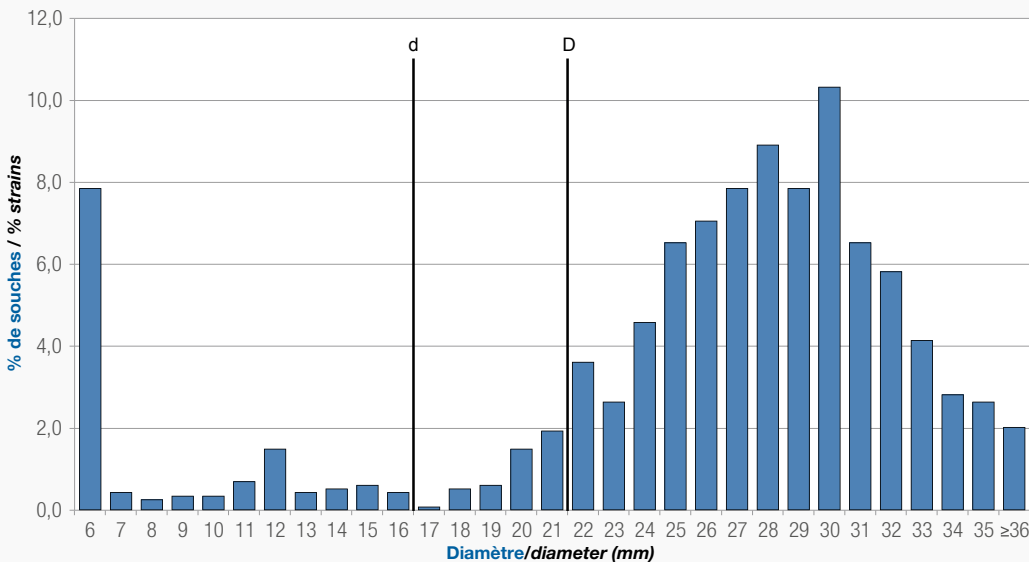


Figure 1.12

Streptococcus uberis :
(1 151 souches) : distribution des diamètres d'inhibition pour l'érythromycine, souches isolées de bovins

Streptococcus uberis:
(1 151 strains): distribution of inhibition zone diameters for erythromycin; strains isolated from bovines (Réseau RESAPATH, 2013). Cf. Tableau 1.7

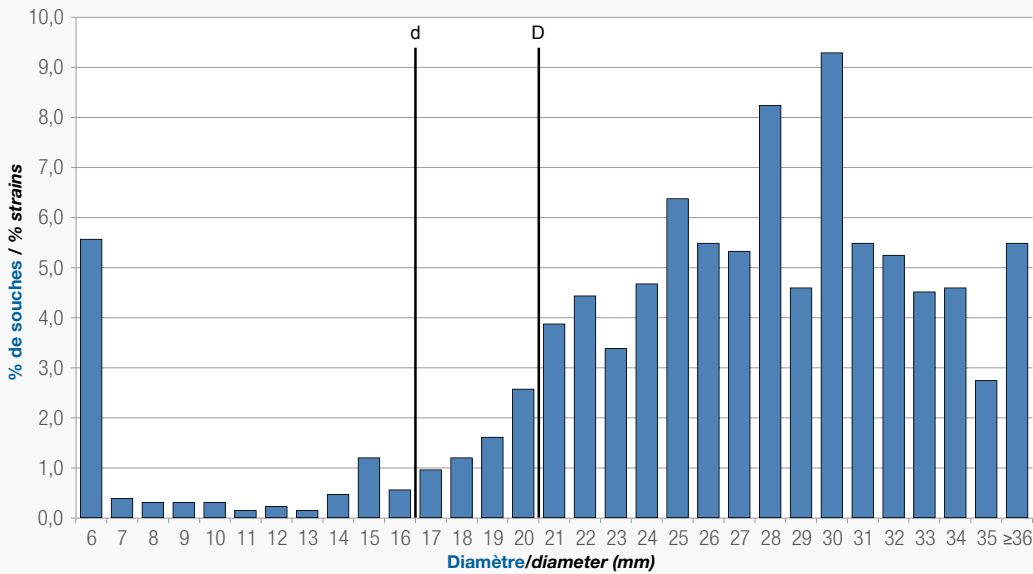


Figure 1.13

Streptococcus uberis :
(1 238 souches) : distribution des diamètres d'inhibition pour la lincomycine, souches isolées de bovins

Streptococcus uberis:
(1 238 strains): distribution of inhibition zone diameters for lincomycin; strains isolated from bovines (Réseau RESAPATH, 2013). Cf. Tableau 1.7

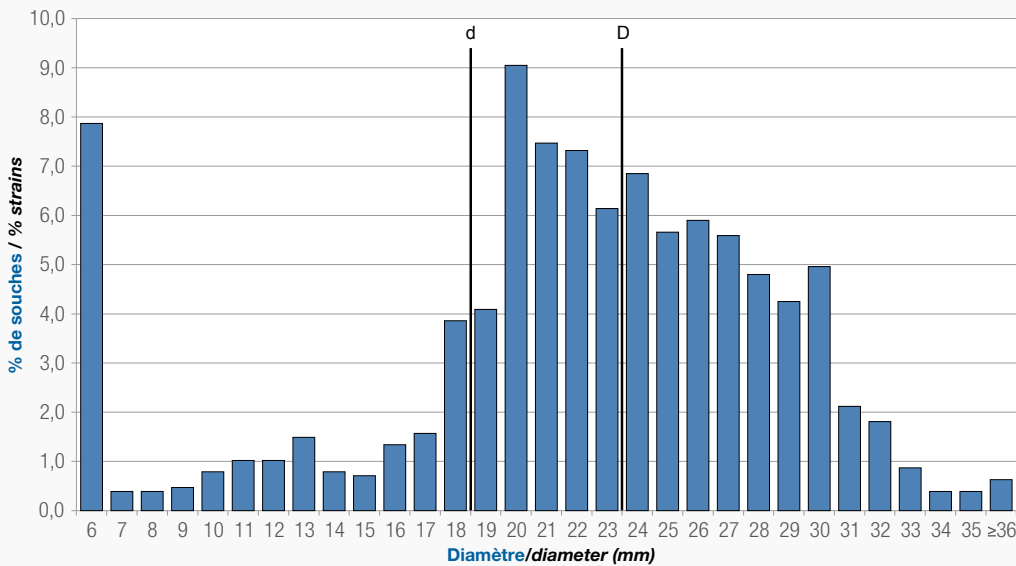


Figure 1.14

Streptococcus uberis :
(1 271 souches) : distribution des diamètres d'inhibition pour la spiramycine, souches isolées de bovins

Streptococcus uberis:
(1 271 strains): distribution of inhibition zone diameters for spiramycin; strains isolated from bovines (Réseau RESAPATH, 2013). Cf. Tableau 1.7

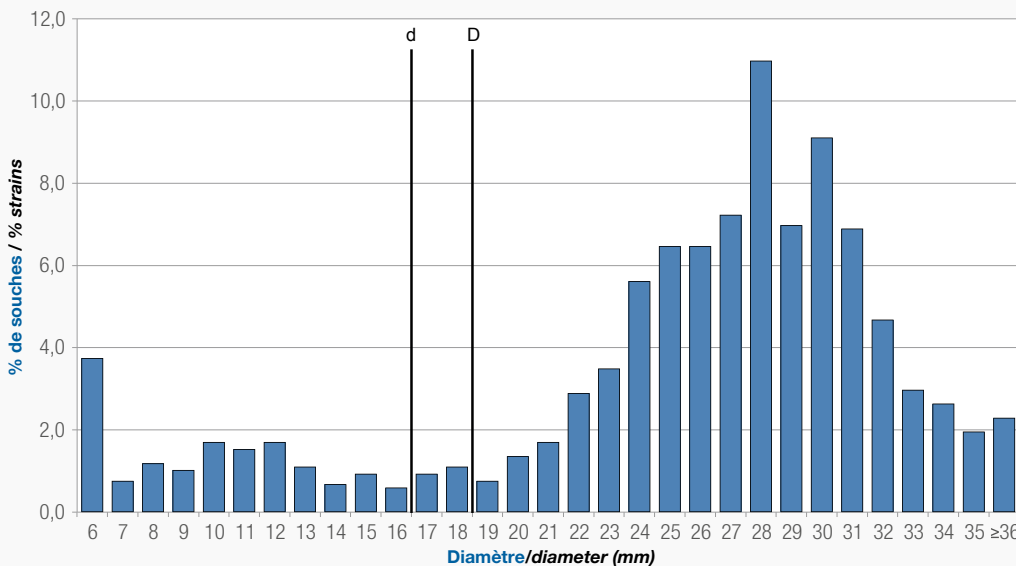


Figure 1.15

Streptococcus uberis :
(1 154 souches) : distribution des diamètres d'inhibition pour la tétracycline, souches isolées de bovins

Streptococcus uberis:
(1 154 strains): distribution of inhibition zone diameters for tetracycline; strains isolated from bovines (Réseau RESAPATH, 2013). Cf. Tableau 1.7

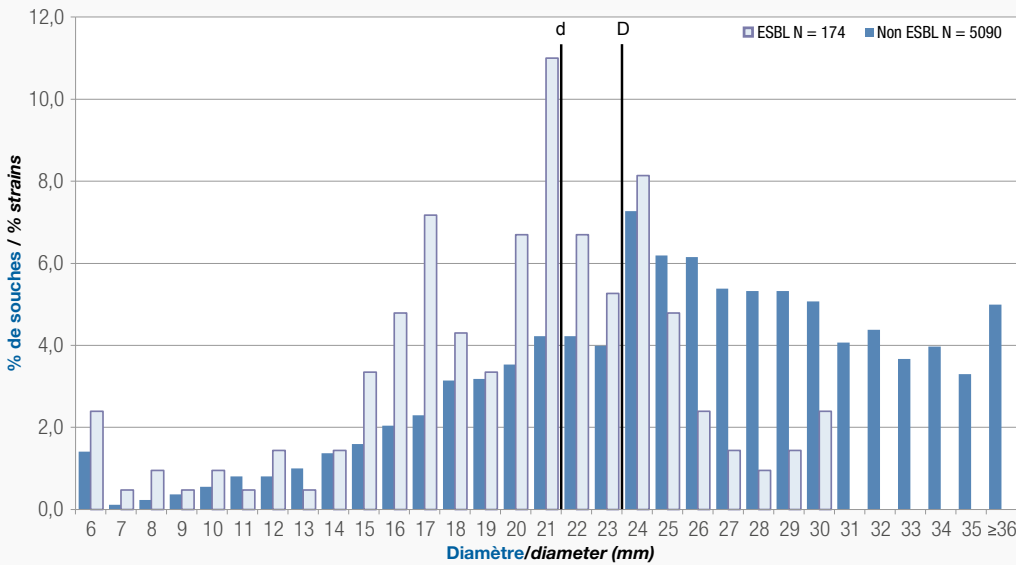


Figure 1.16

Escherichia coli :
non BLSE / BLSE (5 264 souches) :
distribution des diamètres d'inhibition
pour le mécillinam
Escherichia coli:
non ESBL/ESBL (5 264 strains):
distribution of inhibition zone
diameters for mecillinam
(Réseau REUSSIR, 2010).

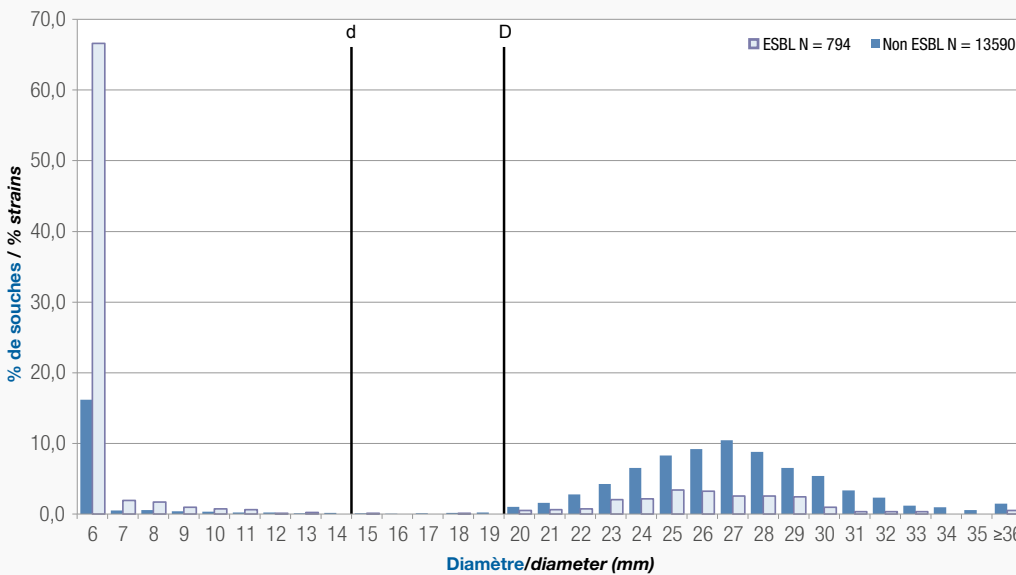


Figure 1.17

Escherichia coli :
non BLSE / BLSE (14 384 souches) :
distribution des diamètres d'inhibition
pour l'acide nalidixique
Escherichia coli:
non ESBL/ESBL (14 384 strains):
distribution of inhibition zone
diameters for nalidixic-acid
(Réseau REUSSIR, 2010).

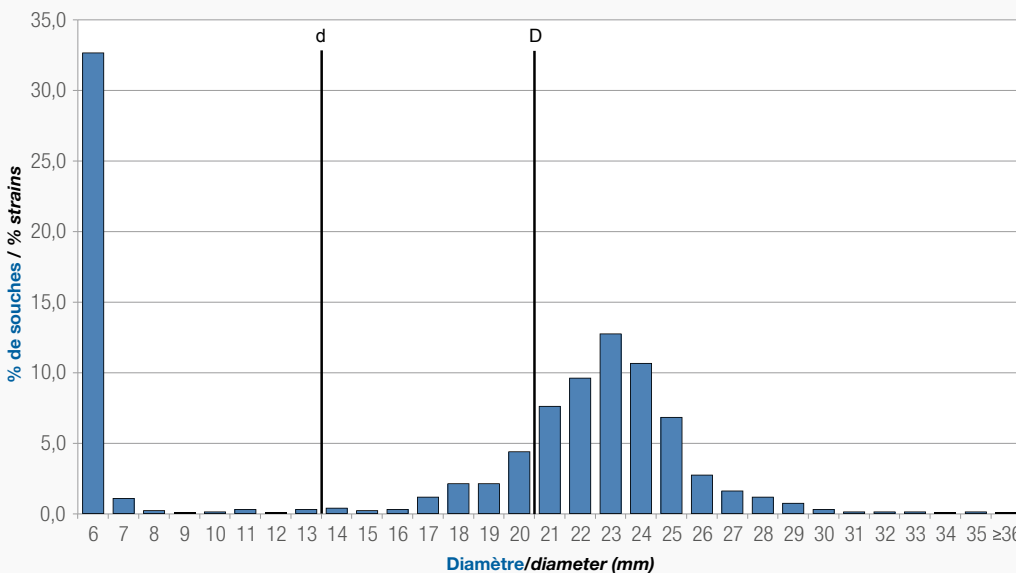


Figure 1.18

Escherichia coli :
(1 167 souches) : distribution
des diamètres d'inhibition
pour l'amoxicilline, souches
isolées de chiens
Escherichia coli:
(1 167 strains): distribution
of inhibition zone diameters
for amoxicillin; strains isolated
from dogs (Réseau RESAPATH,
2013). Cf. Tableau 1.6

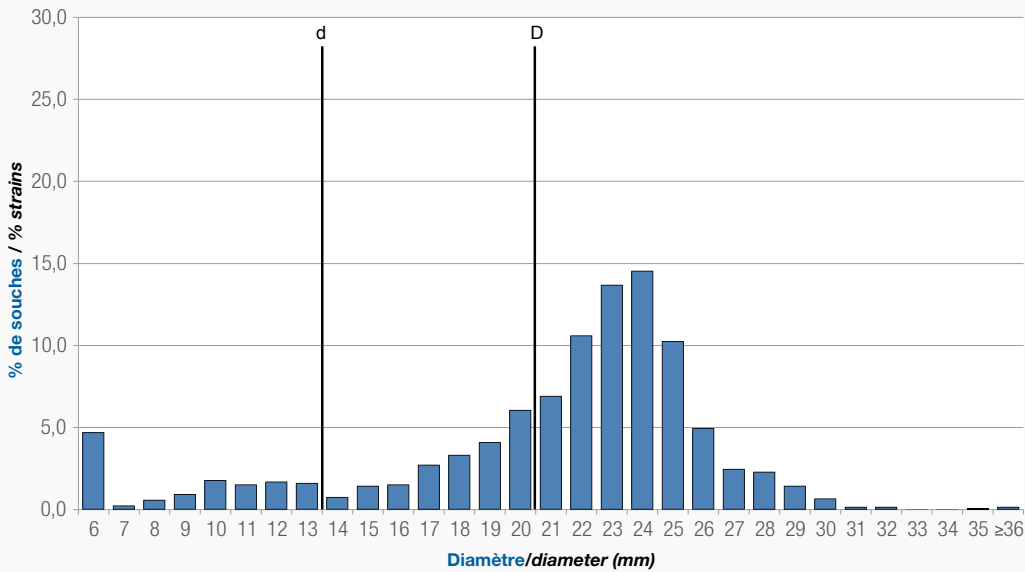


Figure 1.19

Escherichia coli :
(1 189 souches) : distribution des diamètres d'inhibition pour l'association amoxicilline-clavulanate, souches isolées de chiens

Escherichia coli:
(1 189 strains): distribution of inhibition zone diameters for amoxicillin-clavulanate; strains isolated from dogs (Réseau RESAPATH, 2013). Cf. Tableau 1.6

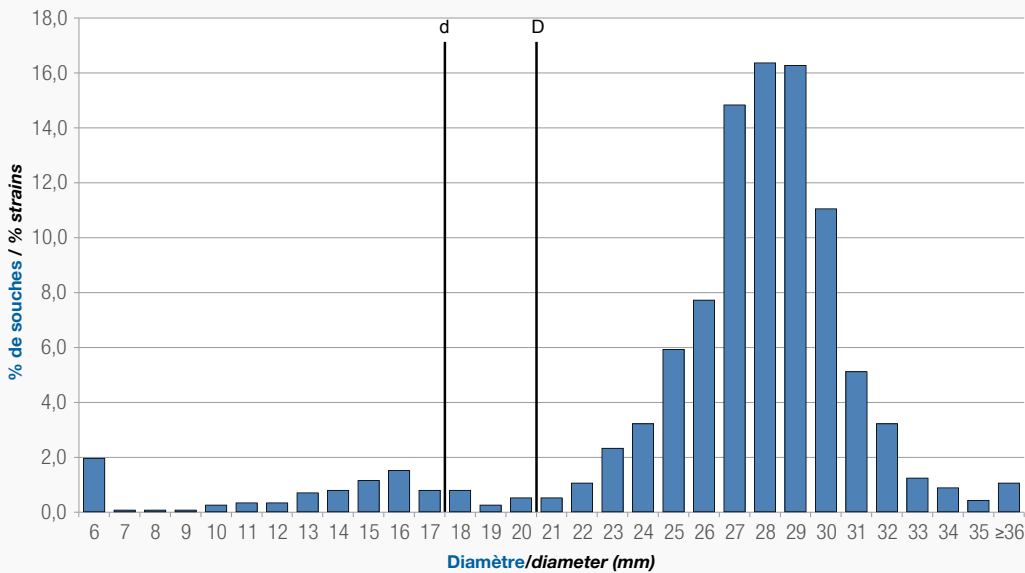


Figure 1.20

Escherichia coli :
(1 127 souches) : distribution des diamètres d'inhibition pour le ceftiofur, souches isolées de chiens

Escherichia coli:
(1 127 strains): distribution of inhibition zone diameters for ceftiofur; strains isolated from dogs (Réseau RESAPATH, 2013). Cf. Tableau 1.6

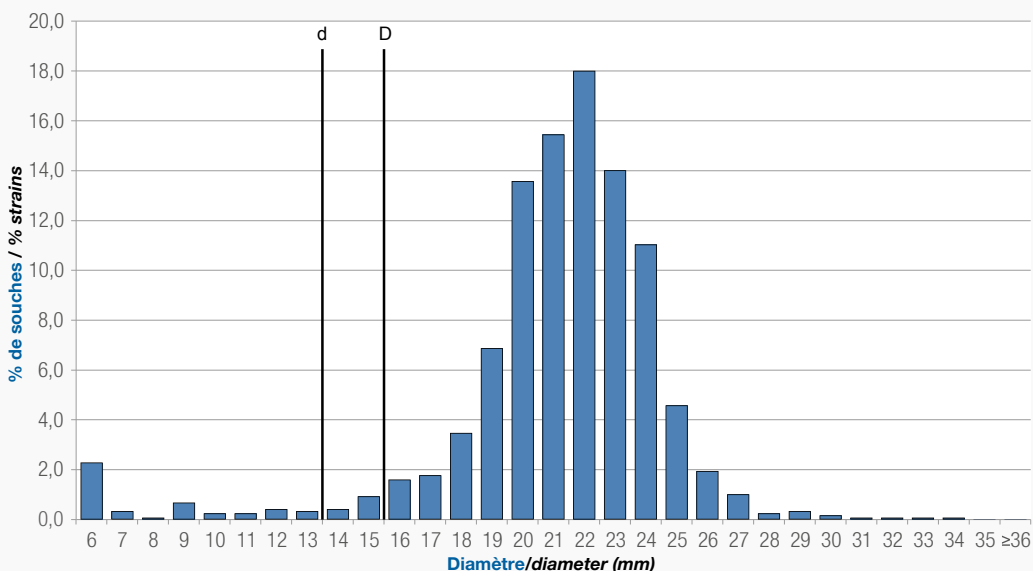


Figure 1.21

Escherichia coli :
(1 184 souches) : distribution des diamètres d'inhibition pour la gentamicine, souches isolées de chiens

Escherichia coli:
(1 184 strains): distribution of inhibition zone diameters for gentamicin; strains isolated from dogs (Réseau RESAPATH, 2013). Cf. Tableau 1.6

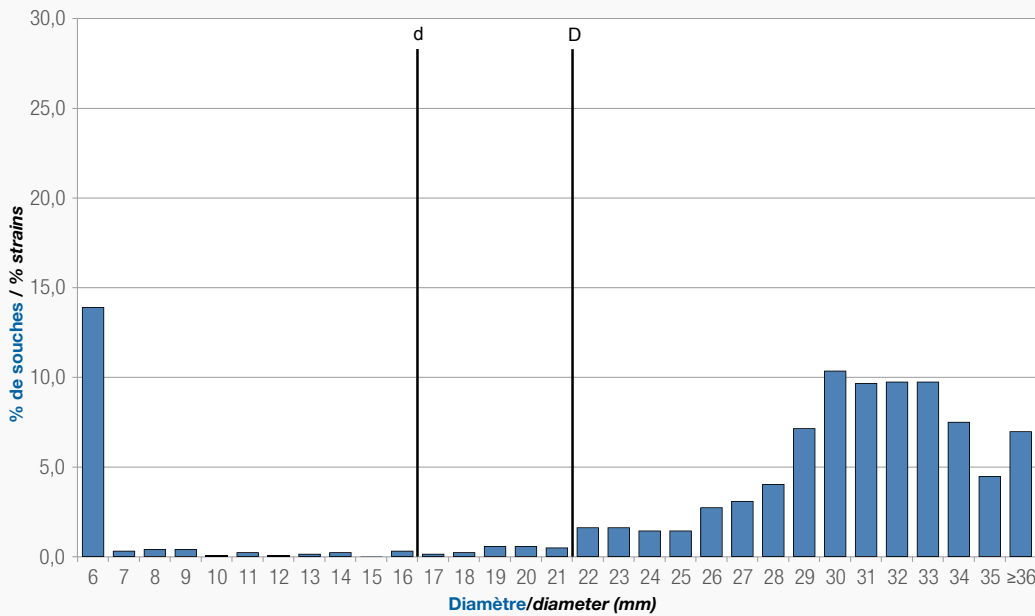


Figure 1.22

Escherichia coli :
 (1 162 souches) : distribution des diamètres d'inhibition pour l'enrofloxacin, souches isolées de chiens

Escherichia coli:
 (1 162 strains): distribution of inhibition zone diameters for enrofloxacin; strains isolated from dogs (Réseau RESAPATH, 2013). Cf. Tableau 1.6

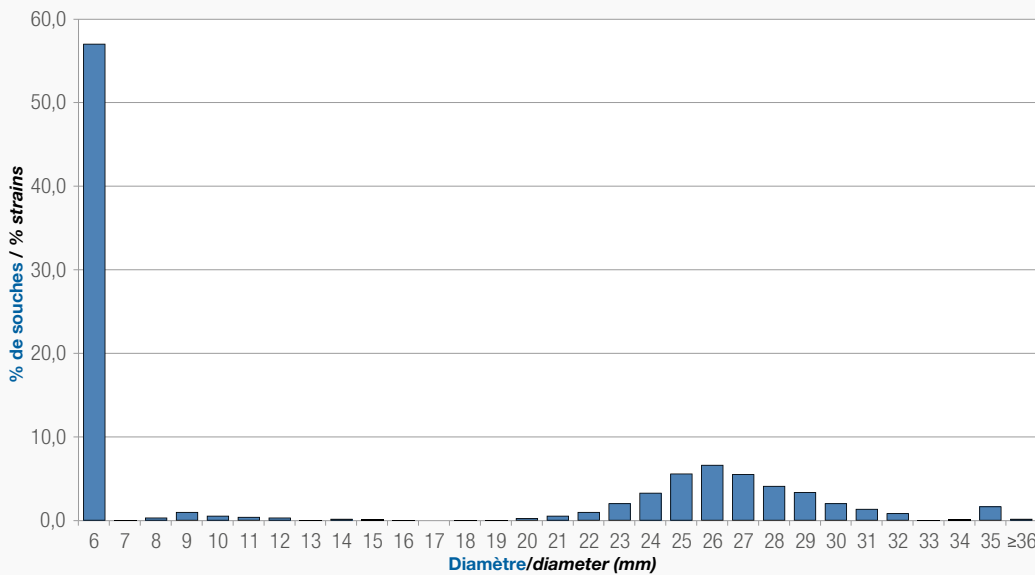


Figure 1.23

Escherichia coli :
 (1 347 souches) : distribution des diamètres d'inhibition pour l'amoxicilline, souches isolées de bactériémies

Escherichia coli:
 (1 347 strains): distribution of inhibition zone diameters for amoxicillin; strains isolated from bacteraemia (Réseau AZAY-Résistance, 2012). Cf. Tableau 1.8

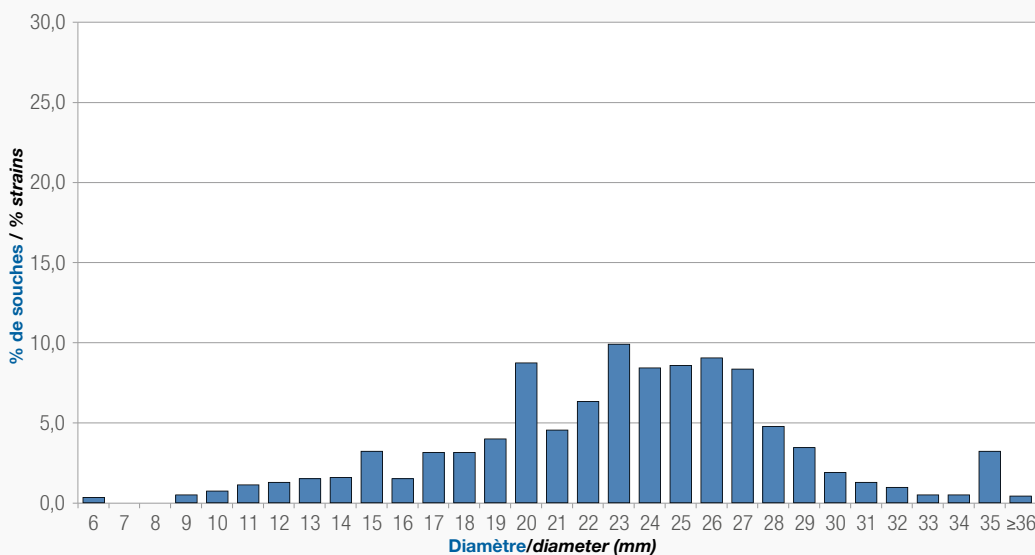


Figure 1.24

Escherichia coli :
 (1 342 souches) : distribution des diamètres d'inhibition pour l'association amoxicilline-clavulanate, souches isolées de bactériémies

Escherichia coli:
 (1 342 st strains): distribution of inhibition zone diameters for amoxicillin-clavulanate; strains isolated from bacteraemia (Réseau AZAY-Résistance, 2012). Cf. Tableau 1.8

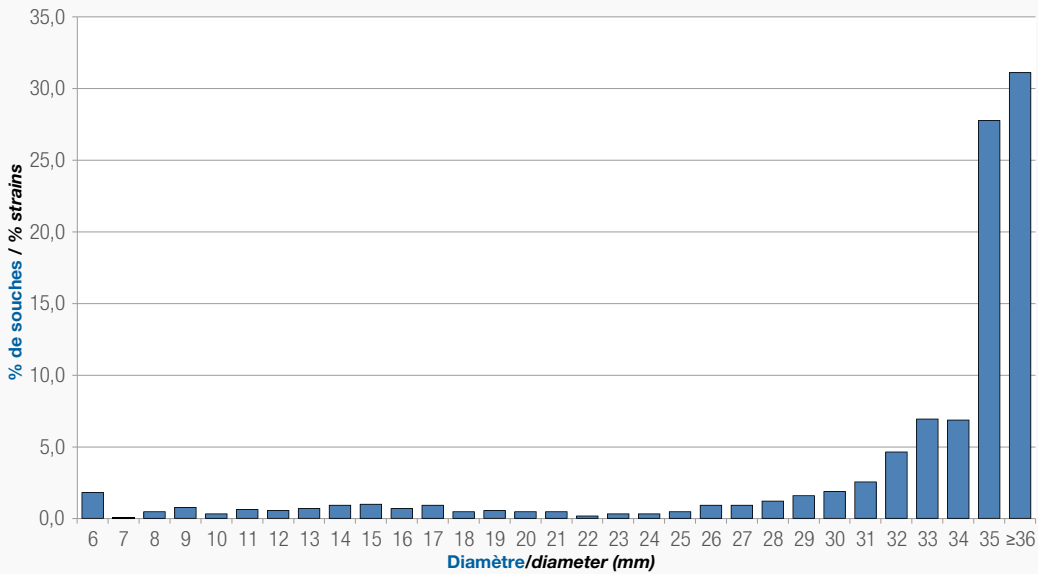


Figure 1.25

Escherichia coli :
(1 344 souches) : distribution des diamètres d'inhibition pour le céfotaxime, souches isolées de bactériémies

Escherichia coli:
(1 344 strains): distribution of inhibition zone diameters for cefotaxime; strains isolated from bacteraemia (Réseau AZAY-Résistance, 2012).
Cf. Tableau 1.8

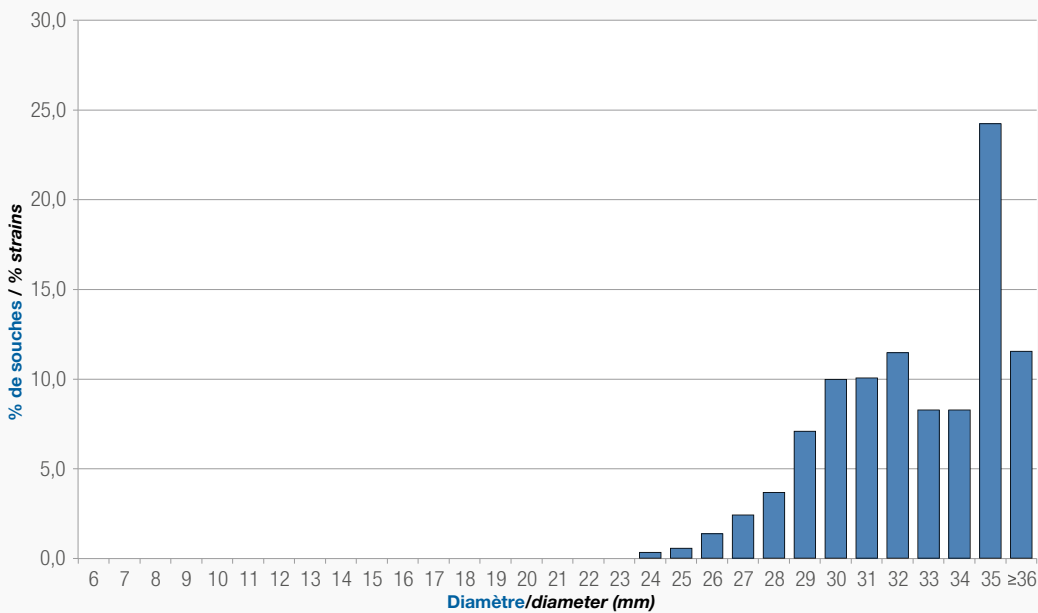


Figure 1.26

Escherichia coli :
(1 344 a la b souches) : distribution des diamètres d'inhibition pour l'imipénème, souches isolées de bactériémies

Escherichia coli:
(1 344 strains): distribution of inhibition zone diameters for imipenem; strains isolated from bacteraemia (Réseau AZAY-Résistance, 2012).
Cf. Tableau 1.8

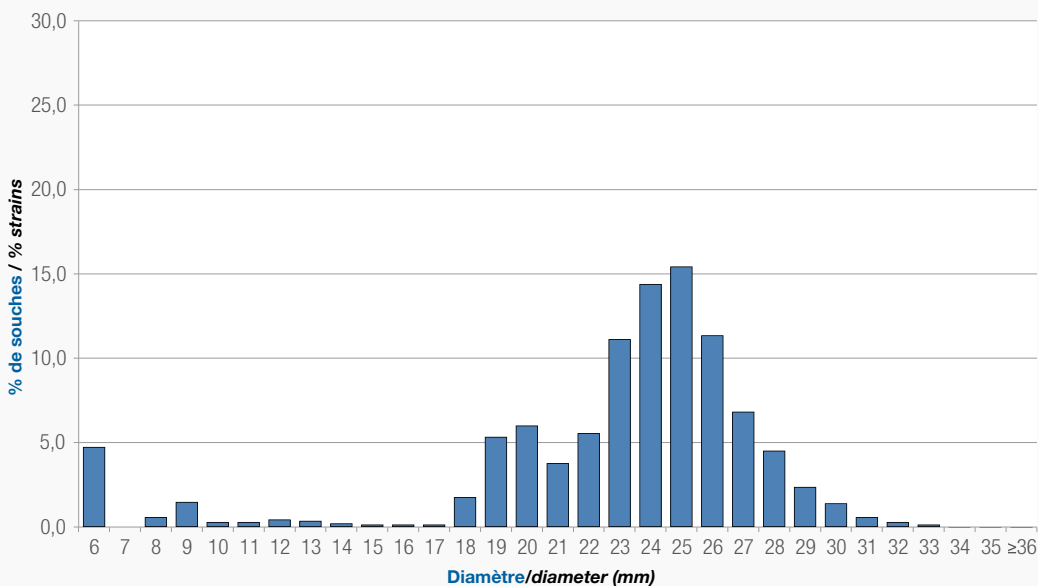


Figure 1.27

Escherichia coli :
(1 346 souches) : distribution des diamètres d'inhibition pour la gentamicine, souches isolées de bactériémies

Escherichia coli:
(1 346 strains): distribution of inhibition zone diameters for gentamicin; strains isolated from bacteraemia (Réseau AZAY-Résistance, 2012).
Cf. Tableau 1.8

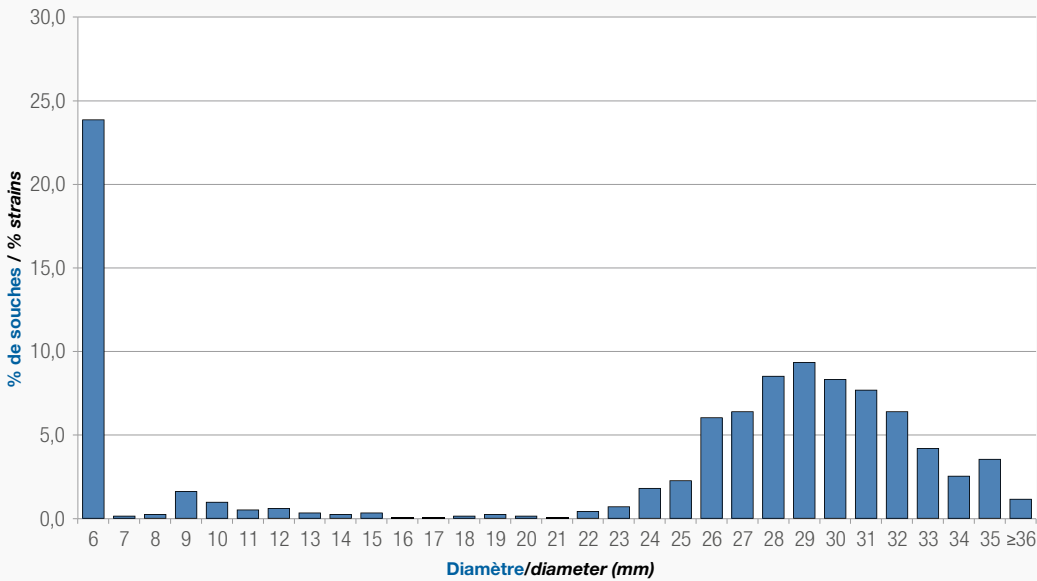


Figure 1.28

Escherichia coli :
 (1 088 souches) : distribution des diamètres d'inhibition pour l'acide nalidixique, souches isolées de bactériémies
Escherichia coli:
 (1 088 strains): distribution of inhibition zone diameters for nalidixic acid; strains isolated from bacteraemia (Réseau AZAY-Résistance, 2012).
 Cf. Tableau 1.8

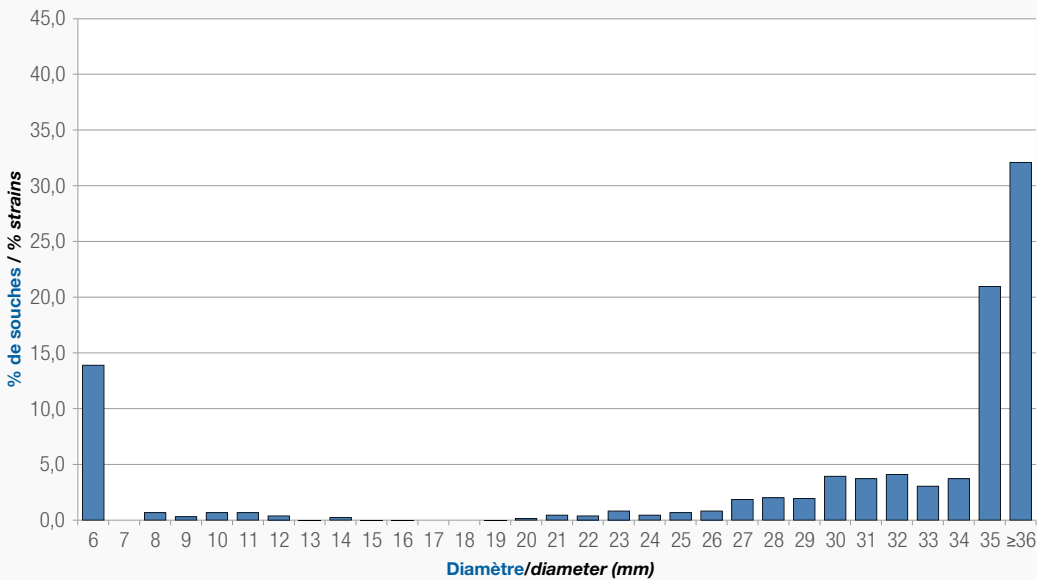


Figure 1.29

Escherichia coli :
 (1 345 souches) : distribution des diamètres d'inhibition pour la ciprofloxacine, souches isolées de bactériémies
Escherichia coli:
 (1 345 strains): distribution of inhibition zone diameters for ciprofloxacin; strains isolated from bacteraemia (Réseau AZAY-Résistance, 2012).
 Cf. Tableau 1.8

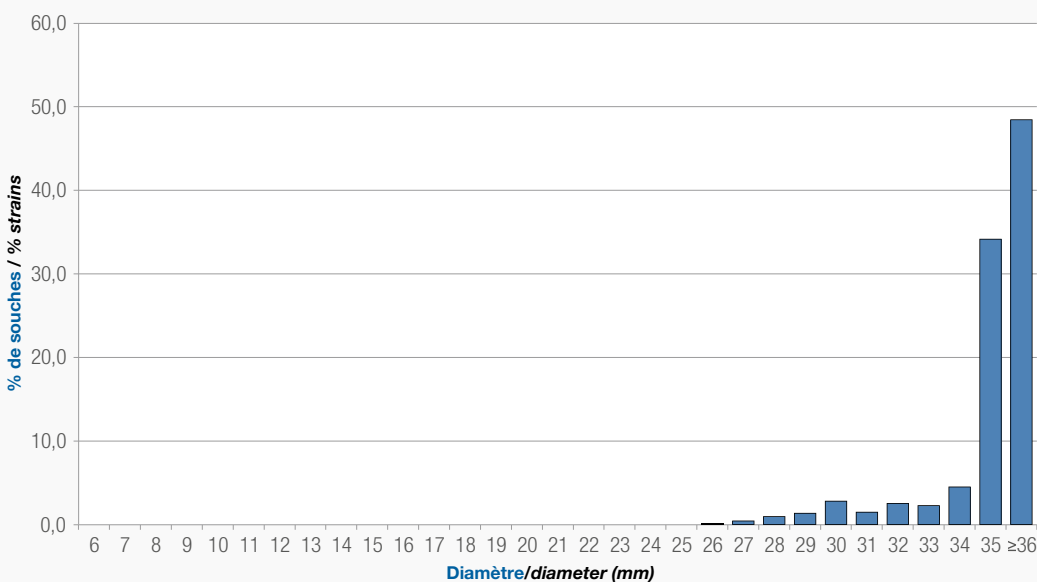


Figure 1.30

Escherichia coli :
 (762 souches) : distribution des diamètres d'inhibition pour la ciprofloxacine sur les souches sensibles à l'acide nalidixique, souches isolées de bactériémies
Escherichia coli:
 (762 strains): distribution of inhibition zone diameters for ciprofloxacin on strains susceptible to nalidixic acid; strains isolated from bacteraemia (Réseau AZAY-Résistance, 2012).
 Cf. Tableau 1.8

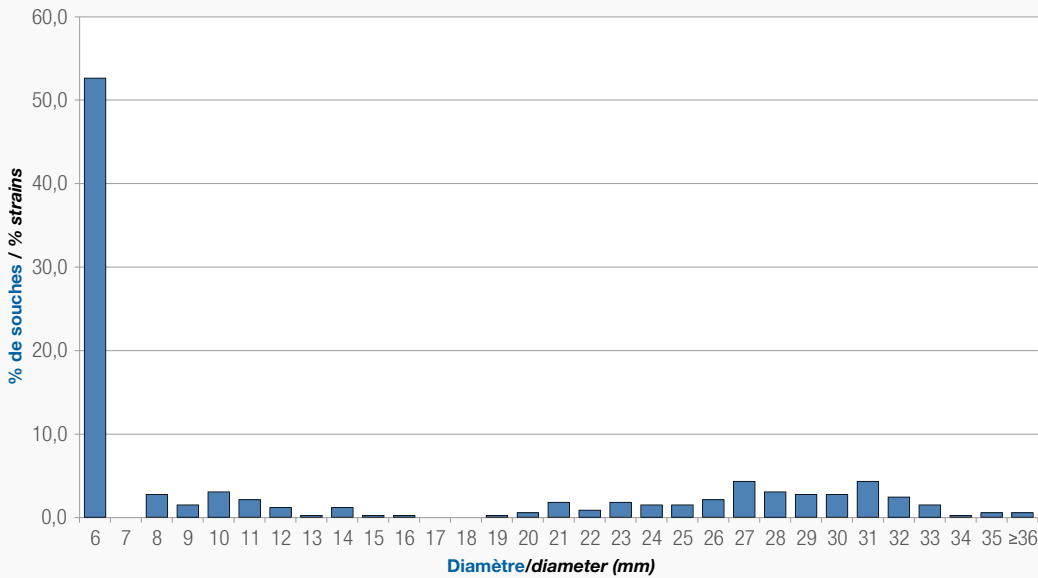


Figure 1.31

Escherichia coli : (319 souches) : distribution des diamètres d'inhibition pour la ciprofloxacine sur les souches intermédiaires ou résistantes à l'acide nalidixique, souches isolées de bactériémies

Escherichia coli: (319 strains): distribution of inhibition zone diameters for ciprofloxacin on nalidixic acid non-susceptible strains (I+R); strains isolated from bacteraemia (Réseau AZAY-Résistance, 2012). Cf. Tableau 1.8

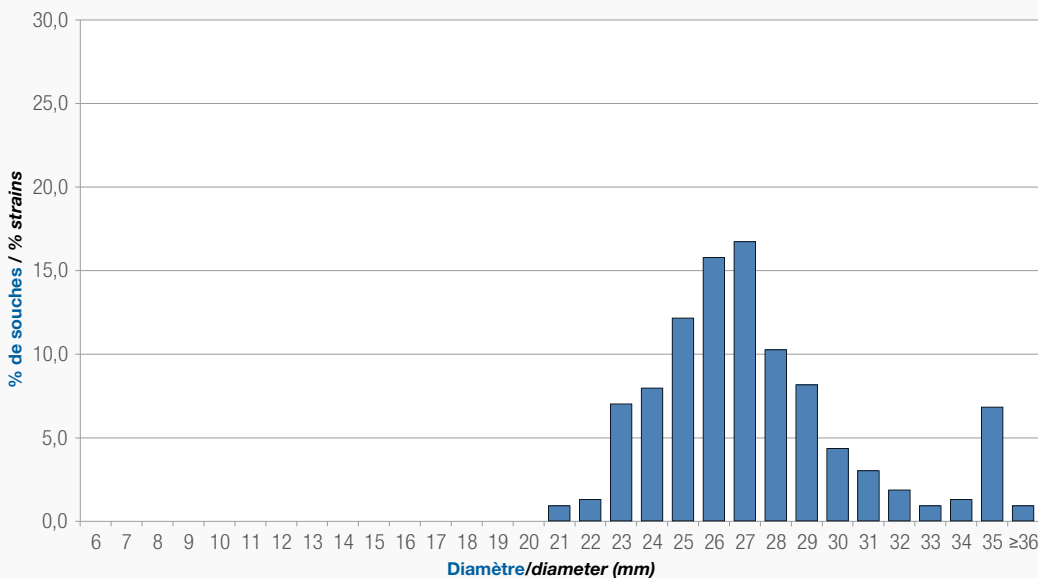


Figure 1.32

Escherichia coli : (525 souches) : distribution des diamètres d'inhibition pour amoxicilline-clavulanate sur les souches sensibles à l'amoxicilline, souches isolées de bactériémies

Escherichia coli: (525 strains): distribution of inhibition zone diameters for amoxicillin-clavulanate on strains susceptible to amoxicillin; strains isolated from bacteraemia (Réseau AZAY-Résistance, 2012). Cf. Tableau 1.8

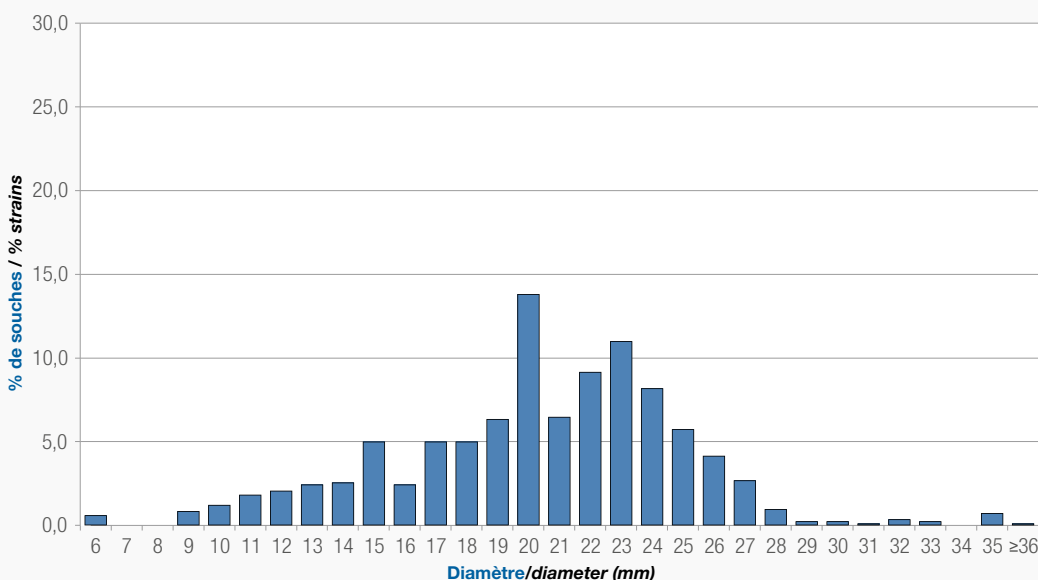


Figure 1.33

Escherichia coli : (816 souches) : distribution des diamètres d'inhibition pour amoxicilline-clavulanate sur les souches non sensibles à l'amoxicilline (I+R), souches isolées de bactériémies

Escherichia coli: (816 strains): distribution of inhibition zone diameters for amoxicillin-clavulanate on amoxicillin-non susceptible strains (I+R); strains isolated from bacteraemia (Réseau AZAY-Résistance, 2012). Cf. Tableau 1.8

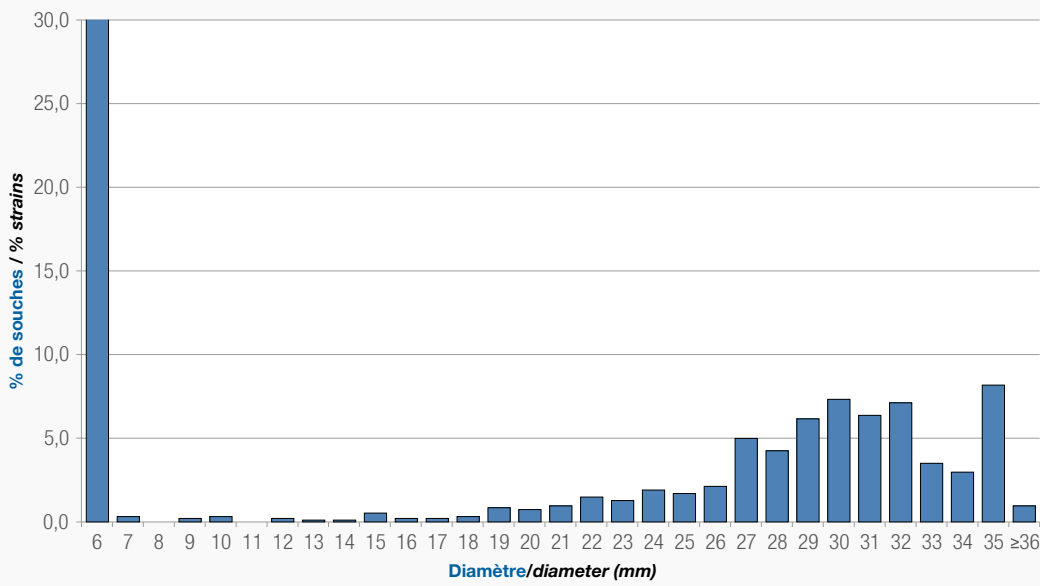


Figure 1.34

Escherichia coli :
 (940 souches) : distribution des diamètres d'inhibition pour le cotrimoxazole
Escherichia coli:
 (940 strains): distribution of inhibition zone diameters for cotrimoxazole; strains isolated from bacteraemia (Réseau AZAY-Résistance, 2012). Cf. Tableau 1.8

Tableau 1.1 Escherichia coli non BLSE : distribution des diamètres d'inhibition.

Table 1.1 Escherichia coli non ESBL: distribution of inhibition zone diameters (réseau REUSSIR, 2012). Cf. Figures 1.1 à 1.3

Souches Strains	Antibiotique Antibiotic	d <	D ≥	Nombre de souche ayant un diamètre (mm) de : Number of strains with a diameter (mm) of :																															
				6	7	8	9	10	11	12	13	14	15	16	17	18	19	20	21	22	23	24	25	26	27	28	29	30	31	32	33	34	35	≥ 36	
Toutes All	Furanes	15	15	12949	137	2	8	7	20	20	19	28	38	52	72	112	158	311	505	807	1059	1371	1554	1601	1522	1194	813	475	334	189	129	95	69	182	
	Fosfomycine	14	14	11630	168	5	17	9	21	14	16	21	30	29	48	55	87	160	311	512	679	1015	1234	1274	1246	1027	853	679	647	449	337	218	147	101	221
	Mecillinam	19	19	5170	133	7	14	15	23	16	19	47	35	54	89	82	95	128	159	175	174	174	249	280	255	310	318	342	322	323	318	254	239	203	105

S : sensible / susceptible - R : résistant / resistant

Tableau 1.2 Klebsiella pneumoniae non BLSE : distribution des diamètres d'inhibition.

Table 1.2 Klebsiella pneumoniae non ESBL: distribution of inhibition zone diameters (réseau REUSSIR, 2012). Cf. Figures 1.4 à 1.6

Souches Strains	Antibiotique Antibiotic	d <	D ≥	Nombre de souche ayant un diamètre (mm) de : Number of strains with a diameter (mm) of :																															
				6	7	8	9	10	11	12	13	14	15	16	17	18	19	20	21	22	23	24	25	26	27	28	29	30	31	32	33	34	35	≥ 36	
Toutes All	Furanes	15	15	1370	42	1	11	7	11	25	35	38	62	60	75	106	110	130	131	115	113	78	76	35	25	11	17	15	16	2	7	4	3	2	0
	Fosfomycine	14	14	1366	138	4	17	14	20	19	39	71	93	107	114	95	109	120	104	91	70	50	32	21	11	5	2	4	5	1	2	2	3	0	0
	Mecillinam	19	19	411	2	2	1	0	1	1	0	4	1	5	4	4	4	9	8	15	17	21	29	36	44	39	34	29	32	22	21	11	8	5	0

S : sensible / susceptible - R : résistant / resistant

Tableau 1.3 Klebsiella pneumoniae BLSE + : distribution des diamètres d'inhibition.

Table 1.3 Klebsiella pneumoniae non ESBL +: distribution of inhibition zone diameters (réseau REUSSIR, 2012). Cf. Figures 1.4 à 1.6

Souches Strains	Antibiotique Antibiotic	d <	D ≥	Nombre de souche ayant un diamètre (mm) de : Number of strains with a diameter (mm) of :																															
				6	7	8	9	10	11	12	13	14	15	16	17	18	19	20	21	22	23	24	25	26	27	28	29	30	31	32	33	34	35	≥ 36	
Toutes All	Furanes	15	15	299	43	3	4	6	11	21	16	28	13	23	14	18	18	23	15	10	11	8	5	3	2	1	0	0	0	0	1	2	0	0	0
	Fosfomycine	14	14	409	52	2	2	3	6	11	9	18	21	33	23	33	31	34	37	28	31	19	8	3	1	1	1	0	2	0	0	0	0	0	0
	Mecillinam	22	24	140	2	0	0	0	2	2	4	2	3	5	6	9	9	13	17	14	16	16	10	4	1	3	1	0	0	0	1	0	0	0	0

S : sensible / susceptible - R : résistant / resistant

Tableau 1.4 Escherichia coli BLSE + : distribution des diamètres d'inhibition.

Table 1.4 Escherichia coli ESBL-positive: distribution of inhibition zone diameters (réseau REUSSIR, 2012). Cf. Figures 1.1 à 1.2

Souches Strains	Antibiotique Antibiotic	d <	D ≥	Nombre de souche ayant un diamètre (mm) de : Number of strains with a diameter (mm) of :																															
				6	7	8	9	10	11	12	13	14	15	16	17	18	19	20	21	22	23	24	25	26	27	28	29	30	31	32	33	34	35	≥ 36	
Toutes All	Furanes	15	15	993	12	2	2	5	1	6	5	9	12	7	5	19	23	24	39	57	63	101	120	100	101	90	67	44	32	21	11	2	3	7	
	Fosfomycine	14	14	1269	38	2	1	1	2	3	2	5	3	4	3	5	8	23	34	61	63	94	78	113	101	141	135	131	89	54	34	22	8	4	7
	Mecillinam	19	19	864	432	6	0	0	1	1	2	3	5	5	13	14	14	14	17	32	35	41	33	41	39	36	23	20	15	5	11	3	1	1	1

S : sensible / susceptible - R : résistant / resistant

Tableau 1.5 Escherichia coli : distribution des diamètres d'inhibition, tous prélèvements chez les bovins.

Table 1.5 Escherichia coli: distribution of inhibition zone diameters, strains isolated from bovines (réseau RESAPATH, 2013). Cf. Figures 1.7 à 1.8

Souches Strains	Antibiotique Antibiotic	d <	D ≥	Total souches N strains	Nombre de souches ayant un diamètre (mm) de : Number of strains with a diameter (mm) of :																															
					6	7	8	9	10	11	12	13	14	15	16	17	18	19	20	21	22	23	24	25	26	27	28	29	30	31	32	33	34	35	≥ 36	
Toutes All	Amoxicilline	14	21	4192	2846	127	30	16	9	12	7	9	6	9	8	13	26	22	38	44	78	95	129	159	141	103	107	52	45	21	13	5	12	2	8	
	Amoxicilline + clavulanate	14	21	4841	165	27	50	86	147	129	196	166	155	174	149	161	190	226	306	392	450	362	371	308	223	160	100	68	36	16	13	1	4	3	7	
	Ceftiofur	18	21	4603	17	8	4	10	11	24	23	34	50	49	28	25	21	11	18	32	54	70	112	174	253	374	621	680	781	437	322	179	80	52	49	
	Gentamicine	14	16	4832	150	26	32	44	87	78	105	98	100	66	29	21	40	107	343	422	661	736	760	490	217	111	49	30	11	4	5	5	3	1	1	
	Enofloxacine	17	22	4444	568	47	82	71	71	47	30	16	7	1	6	8	9	16	24	49	88	91	127	154	119	132	168	156	429	277	373	303	317	228	430	

S : sensible / susceptible - R : résistant / resistant

Tableau 1.6 Escherichia coli : distribution des diamètres d'inhibition, tous prélèvements chez les chiens.

Table 1.6 Escherichia coli: distribution of inhibition zone diameters, strains isolated from dogs (réseau RESAPATH, 2013). Cf. Figures 1.18 à 1.22

Souches Strains	Antibiotique Antibiotic	d <	D ≥	Total souches N strains	Nombre de souches ayant un diamètre (mm) de : Number of strains with a diameter (mm) of :																															
					6	7	8	9	10	11	12	13	14	15	16	17	18	19	20	21	22	23	24	25	26	27	28	29	30	31	32	33	34	35	≥ 36	
Toutes All	Amoxicilline	14	21	1167	376	13	3	1	2	4	1	4	5	3	4	14	25	25	51	88	111	147	123	79	32	19	14	9	4	2	2	1	2	1		
	Amoxicilline + clavulanate	14	21	1189	55	3	7	11	21	18	20	19	9	17	18	32	39	48	71	81	124	160	170	120	58	29	27	17	8	2	2	0	0	1	2	
	Ceftiofur	18	21	1127	22	1	1	1	3	4	4	8	9	13	17	9	9	3	6	6	12	26	36	66	86	165	182	181	123	57	36	14	10	5	12	
	Gentamicine	14	16	1184	27	4	1	8	3	3	5	4	5	11	19	21	41	81	160	182	212	165	130	54	23	12	3	4	2	1	1	1	1	0	0	
	Enofloxacine	17	22	1162	161	4	5	5	1	3	1	2	3	0	4	2	3	7	7	6	19	19	17	17	32	36	47	83	120	112	113	113	87	52	81	

S : sensible / susceptible - R : résistant / resistant

Tableau 1.7 Streptococcus uberis : distribution des diamètres d'inhibition, tous prélèvements chez les bovins.

Table 1.7 Streptococcus uberis: distribution of inhibition zone diameters, strains isolated from bovines (réseau RESAPATH, 2013). Cf. Figures 1.12 à 1.15

Souches Strains	Antibiotique Antibiotic	d <	D ≥	Total souches N strains	Nombre de souches ayant un diamètre (mm) de : Number of strains with a diameter (mm) of :																															
					6	7	8	9	10	11	12	13	14	15	16	17	18	19	20	21	22	23	24	25	26	27	28	29	30	31	32	33	34	35	≥ 36	
Toutes All	Erythromycine	17	22	1151	89	5	3	4	4	8	17	5	6	7	5	1	6	7	17	22	41	30	52	74	80	89	101	89	117	74	66	47	32	30	23	
	Lincosmycine	17	21	1238	69	5	4	4	4	2	3	2	6	15	7	12	15	20	32	48	55	42	58	79	68	66	102	57	115	68	65	56	57	34	68	
	Spiramycine	19	24	1271	100	5	5	6	10	13	13	19	10	9	17	20	49	52	115	95	93	78	87	72	75	71	61	54	63	27	23	11	5	5	8	
	Tétracycline	17	19	1154	31	11	13	14	24	21	21	20	17	7	11	10	12	17	23	28	40	36	67	86	94	95	98	81	118	50	49	16	12	12	20	

S : sensible / susceptible - R : résistant / resistant

Tableau 1.8 Escherichia coli : distribution des diamètres d'inhibition, souches responsables de bactériémies.

Table 1.8 Escherichia coli: distribution of inhibition zone diameters, strains isolated from bacteraemia (réseau Azay-résistance, 2012), Cf. Figures 1.23 à 1.34

Souches Strains	Antibiotique Antibiotic	d <	D ≥	Total souches N strains	Nombre de souches ayant un diamètre (mm) de : Number of strains with a diameter (mm) of :																																			
					6	7	8	9	10	11	12	13	14	15	16	17	18	19	20	21	22	23	24	25	26	27	28	29	30	31	32	33	34	35	≥ 36					
Toutes All	Amoxicilline	14	21	1347	769	1	5	14	8	6	5	1	3	2	1	0	1	4	8	14	28	45	76	90	75	56	46	28	19	12	1	2	23	3						
	Amoxicilline + clavulanate	14	21	1342	5	0	0	7	10	15	17	20	21	42	20	41	41	52	113	59	82	128	109	111	117	108	62	45	25	17	13	7	7	42	6					
	Céfolaxime	15	21	1344	25	1	7	11	5	9	8	10	13	14	10	13	7	8	7	7	3	5	5	7	13	17	22	26	35	63	94	93	374	419						
	Gentamicine	17	22	1346	64	0	8	20	4	4	6	5	3	2	2	2	24	72	81	51	75	150	194	208	153	92	61	32	19	8	4	2	0	0						
	Imipénème	16	18	1344	0	0	0	0	0	0	0	0	0	0	0	0	0	0	0	0	0	0	5	8	19	33	50	96	135	136	155	112	112	327	156					
	Cotrimoxazole	11	16	940	324	3	0	2	3	0	2	3	1	1	5	2	2	3	8	7	9	14	12	18	16	20	47	40	58	69	60	67	33	28	77	9				
	Ac. nalidixique	15	20	1088	260	2	3	18	11	6	7	4	3	4	1	1	2	3	2	1	5	8	20	25	66	70	93	102	91	84	70	46	28	39	13					
	Ciprofloxacine	19	22	1344	188	0	10	5	10	10	6	1	4	1	1	1	0	0	1	3	7	6	12	7	10	12	26	28	27	54	51	56	42	51	283	433				
	S ac. nalidixique	22	25	762	0	0	0	0	0	0	0	0	0	0	0	0	0	0	0	0	0	0	0	0	1	4	8	11	22	12	20	18	35	261	370					
	R ac. nalidixique	19	22	319	168	0	9	5	10	7	4	1	4	1	1	1	0	0	1	2	6	3	6	5	5	7	14	10	9	14	8	5	1	2	2					
S Amoxicilline + clavulanate	14	21	525	0	0	0	0	0	0	0	0	0	0	0	0	0	0	0	5	7	37	42	64	83	88	54	43	23	16	10	5	7	36	5						
R Amoxicilline + clavulanate	14	21	816	5	0	0	7	10	15	17	20	21	41	20	41	41	52	113	53	75	90	67	47	34	22	8	2	2	1	3	2	0	6	1						

S : sensible / susceptible - R : résistant / resistant

